

2 周期外力による弾性体の動的安定問題の厳密な扱いについて

東京大學生産技術研究所 皆川洋一

§1. 序 周期外力を受ける弾性体の動的安定問題はパラメータ励振とも呼ばれ、従来周期微分方程式(Mathieu-Hill式)で支配される問題として定式化されて来た。從来方向外力を受けるrodの曲げ変形、面内方向外力を受ける板の曲げ変形、対称モードの外力を受けるアーチ、リング、及び偏平シェルの非対称変形、軸対称外力を受ける回転シェルの非軸対称変形等、この問題の代表的なモデルである。しかし、歪の2次項までの有限変形を考慮してこれらの弾性体を支配する運動方程式を誘導すると、Mathieu-Hill式へ導かれるのではなく、不安定前の変形(初期変形)(rodの屈曲変形、板の面内変形、アーチ、リング、及び偏平シェルの非対称変形、回転シェルの軸対称変形)と不安定後の変形(rodの曲げ変形、板の面外変形、アーチ、リング、及び偏平シェルの非対称変形、回転シェルの軸対称変形)とが非線形項で連成し強制外力項を持つ非線形運動方程式が導かれる。この系をMathieu-Hill式で支配されるとした従来の扱いは、この非線形運動方程式の不安定前の変形と不安定後の変形の間に変数分離を仮定し、不安定前の変形における非線形項の因子近似的に角解析し、この解のもとで不安定後の変形が安定であるか否かを検討する扱いに対応している。この仮定を導入せず、不安定前の変形と不安定後の変形が連成した非線形運動方程式を直接解析して結果と従来の定式化に基づく結果との間に差違が認められることが皆川によると示されている。本報では周期外力を受ける弾性体を支配する2自由度系の非線形運動方程式を解析し、厳密な扱いをして得た結果と従来の定式化を応用して得た結果との間に生ずる差違を比較検討する。

一方、非線形運動を角解析する際一般に非線形代数方程式をNewton-Raphson法等の収斂計算法を利用して角解析なければならぬ。しかし、ある種の非線形運動方程式は収斂計算を行わず代数演算だけで非線形運動を角解析することできる。この手法を示し、前記の2自由度系非線形運動方程式に応用して、不安定前変形の自由振動解、強制振動解、及び動的安定問題における初期変形(不安定前の変形)の非線形応答を考慮した不安定領域の決定に利用できることを示す。

§2. 周期外力を受ける偏平構造物を支配する運動方程式 (1-a)式において非線形項を無視し、線形項のみ \ddot{x}_1 、次式で表される系を本報で角解析する。

$$\ddot{x}_1 + w_1^2 x_1 + d_1 x_1^2 + 2d_2 x_1 x_2 + d_3 x_1^3 + d_4 x_1^3 = f_1 \cos \omega t \quad (1-a)$$

$$\ddot{x}_2 + w_2^2 x_2 + 2d_1 x_1 x_2 + 2d_2 x_1^2 x_2 + d_5 x_2^3 = 0 \quad (1-b)$$

を角解析すると、次式を得る。

$$x_1^* = \frac{f_1}{\omega_1^2 - \omega^2} \cos \omega t \quad (2)$$

(1-b)式において非線形項の係数 $d_2=0$ を仮定して式へ(2)式を代入して次式を得る。

$$\ddot{x}_2 + (w_2^2 + 2d_1 \frac{f_1}{\omega_1^2 - \omega^2} \cos \omega t) x_2 + d_5 x_2^3 = 0 \quad (3)$$

$d_2=0$ を仮定して理由は、従来の扱いでは初期変形(x_1)の2次のオーダーの項を無視しているからである。

歪の2次項までの有限変形を考慮して時、(1)式に支配される系を近似的に(3)式で支配されるとして扱いや従来「周期外力による動的安定問題」である。この問題を扱い多くの研究では(3)式における $w^2=0$ として式を基礎式としている。この場合

歪の2次項までの有限変形を考慮して、rodにおける横変形モード(x_1)と曲げ変形モード(x_2)、板における面内変形モード(x_1)と曲げ(面外)変形モード、アーチ、リング、偏平シェルの対称変形モード(x_1)と非対称変形モード(x_2)、回転シェルにおける周方向展開次数 $n=0$ の変形(軸対称変形)モード(x_1)と $n=m(m \neq 0)$ の変形(非軸対称変形)モード(x_2)を1個ずつ採用し、(x_1)の変形モードを持つ強制外力を作用させると(1)式で表される非線形運動方程式が導かれる。

(1)式で表される系を扱う従来の定式化について検討する。

初期変形 (x_0) は非線形項ばかりではなく慣性項も無視したこととする。③式に対する基礎式を使用して場合、初期変形の線形応答を考慮していふことに及ぶ。⁵⁾⁶⁾

§3. 解の仮定と解の安定性

ここで(1)式へ調和バランス法を適用して解析する。規準座標 x_1 及び x_2 を次式⁷⁾¹⁰⁾で仮定する。

$$\begin{cases} x_1 = \frac{C_{10}}{2} + \sum_{n=1}^{\infty} C_{1n} \cos n\omega t \\ x_2 = \frac{C_{20}}{2} + \sum_{k=1}^{\infty} \left\{ C_{2k} \cos \frac{k}{2} \omega t + S_{2k} \sin \frac{k}{2} \omega t \right\} \end{cases} \quad (4)$$

(4)式を(1)式へ代入して調和バランス法を適用すると次式²で表される非線形代数方程式を得る。

$$G(\omega, C) = 0, \text{ ここで } C = \{C_{10}, C_{11}, \dots, C_{20}, \dots\}^T \quad (5)$$

(5)式を解析して得た解を $x_0 = \{x_1^0, x_2^0\}^T$ と表す。

次に、得られた周期解 x_0 の安定性を検討する。

周期解 x_0 のもとで導かれた(1)式の変分式を次式²で表す。

$$\ddot{\xi}_j + \omega_j^2 \xi_j + \sum_{k=1}^{\infty} H_{jk}(x_0) \xi_k = 0 \quad (j=1, 2) \quad (6)$$

ここで、 $x_0 = \{x_1^0, x_2^0\}^T$, $\dot{x}_j^0(t) = x_j^0(t+T)$: ($j=1, 2$)

$$\xi_j = \delta x_j : x_j^0 \text{ の変分}$$

$H_{jk}(x_0)$: 周期実数

Froquet 定理により、実の周期係数を持つ(6)式の解に、次式の形を持つものが存在する。

$$\xi_j = e^{i\mu t} \Phi_j(t) \quad (j=1, 2) \quad (7)$$

$$\Phi_j(t) = \frac{\tilde{C}_{j0}}{2} + \sum_k \left\{ \tilde{C}_{jk} \cos \frac{k}{2} \omega t + \tilde{S}_{jk} \sin \frac{k}{2} \omega t \right\} \quad (8)$$

(7)式及び(8)式を(6)式へ代入し、同一の波数を持つ係数を0と置いた後、次式を得る。

$$[\mu^2 \mathbb{I} + \mu \bar{C} + \bar{K}] \Psi_j = 0 \quad (9)$$

ここで、 $\Psi_j = \{\tilde{C}_{j0}, \dots, \tilde{C}_j^T\}^T$ 。

同次形の線形代数方程式が nontrivial な解を持つためには、次式が成立しなければならない。

$$\det [\mu^2 \mathbb{I} + \mu \bar{C} + \bar{K}] = 0 \quad (10)$$

(10)式²で表される固有値問題において、すべての固有値(特性指数)の実部が正にならなければ、変分

一方、正の実部を持つ固有値や「1個でも出現すれば」周期解 x_0 は不安定と考えられる。

§4. 数値解析

(1)式²で支配される系のモデルとして、Sine 形状を以て偏平アーチを採用する。このアーチの各非線形項の係数は陽に求められていふ。偏平アーチの対称半波の変形モード(x_1)、逆対称変形モード(x_2)と呼ばれ(1)式の各係数は次式²で与えられる。

$$\begin{cases} \omega_1^2 = 1 + H^2/2, d_1 = -H, d_2 = 1/2, \omega_2^2 = 16 \\ d_3 = -3H/4, d_4 = 1/4, d_5 = 4, H: 無次元化ラバ \end{cases} \quad (11)$$

(1)式及び(11)式²で支配される偏平アーチにおいて、無次元化ラバ $H=3$ 及び 10 を有する2つのモデルの数値解析を行う。

4-1 無次元化ラバ $H=3$ の偏平アーチ

無次元化ラバ $H=3$ の偏平アーチを静的に解析し

曲線を図1に示す。
静的に解析して特
H=3の偏平アーチにおける
逆対称変形は分
Fig.1 Spring-displacement Curve
にして采りたい。すなはち、 x_2 は恒等的に0となる。
次に、非線形運動方程式((1)式)において、 $f_1=6.0$ としてモデルを解析する。解の仮定は(4)式から次式の

級数を採用する。

$$\begin{cases} x_1 = C_{10}/2 + C_{11} \cos \omega t \\ x_2 = C_{20}/2 + C_{21} \cos \frac{1}{2} \omega t + S_{21} \sin \frac{1}{2} \omega t \end{cases} \quad (12-a)$$

$$+ C_{22} \cos \omega t + S_{22} \sin \omega t \quad (12-b)$$

(1)式において規準座標 x_2 は trivial な解を持つ。

この時の規準座標 x_1 が共振曲線(基本パースに対応する共振曲線と呼ぶ)から、規準座標 x_2 が nontrivial/

が分岐してくる。分岐点 P_1 に対応する共振曲線を図2及び図3に示す。破線は基本パースに対応する共振

曲線である。図2において、基本パースに対応する共振曲線上に2つの分歧点 P_1 及び P_2 が存在し、これらの分岐点からそれぞれ山振動成分 C_{21} 及び S_{21} が分岐す

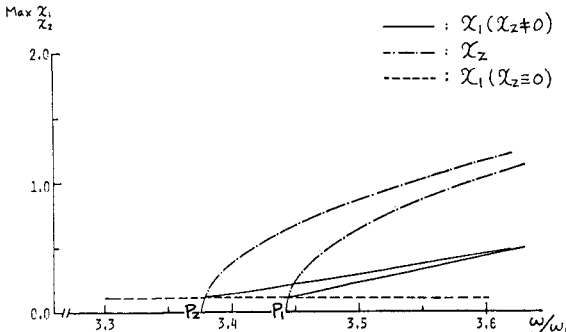


Fig. 2 Resonance Curve ($H = 3$)

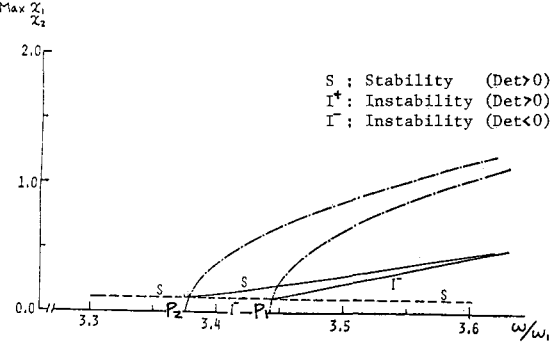


Fig. 4 Stability of Periodic Solution

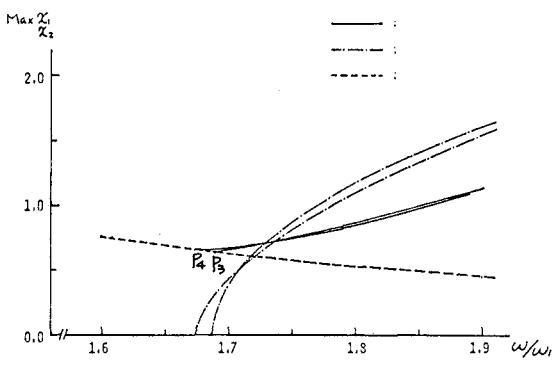


Fig. 3 Resonance Curve ($H = 3,)$

3. 点 P_1 及び P_2 は規準座標 χ_2 の動的不安定領域の境界に対応し、点 P_3 及び P_4 は挿まれた領域や主不安定領域である。すな、図 3 の基本 10^os に対応する共振曲線上の点 P_3 及び P_4 も分歧点である。点 P_3 から S_{21} が分歧し、点 P_4 から C_{20} と C_{21} が分歧する。点 P_3 と P_4 とで挿まれた領域が χ_2 の 2 次不安定領域である。

次に、図 2 で示した主不安定領域の解の安定性を検討する。(8) 式に対する χ_2, ϕ_j ($j=1, 2$) を次式で仮定する。

$$\begin{aligned} \Phi_1 &= \tilde{C}_{10}/z + \tilde{C}_{11} \cos \omega t + \tilde{S}_{11} \sin \omega t \\ \Phi_2 &= \tilde{C}_{20}/z + \tilde{C}_{21} \cos \frac{1}{2}\omega t + \tilde{S}_{21} \sin \frac{1}{2}\omega t + \tilde{C}_{12} \cos \omega t + \tilde{S}_{12} \sin \omega t \end{aligned} \quad (13)$$

(7) 式及び(13)式を(6)式へ代入して得られる固有値問題を解析して結果を図 4 に示す。図中の記号 S は正の実部を有する固有値(特性指数)が存在せず、 I^+, I^- は正の実部を有する固有値が出現しないことを意味する。右肩の +, - は(10)式における $\det[\bar{K}]$ の

正負を表す。

4-2 無次元化ライズ $H = 10$ の偏平アーチ

次に無次元化ライズ $H = 10$ の偏平アーチを解析する。

このモデルを静的で解釈して場合の荷重変位曲線を図 5 に示す。この系は静的解析においても分岐屈曲を起す。

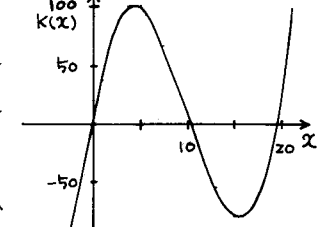


Fig. 5 Spring-Displacement Curve

(1) 式において、外力振幅 $f_1 = 30.0$ としてモデルの共振曲線を解析する。

解の假定は(12)式と同一の Fourier 級数を採用する。規準座標 χ_2 が trivial な解を取り基本 10^os に対する共振曲線の一部を図 6 に示す。

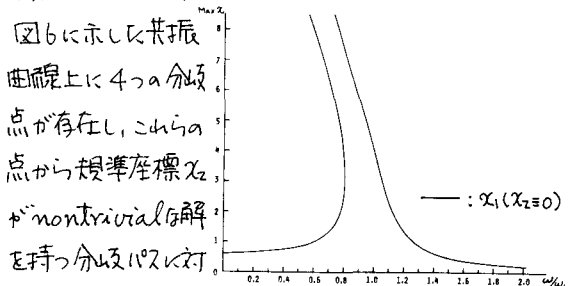


図 6 に示した共振曲線上に 4 つの分岐点がある。点が存在し、これらが nontrivial 解である。また、分岐点 P_1 と P_2 が存在する。

図 7 の破線は図 6 に示した基本 10^os に対する共振曲線である。点 P_1 ($\omega/\omega_1 \approx 1.34$) 及び点 P_2 ($\omega/\omega_1 \approx 6.3$) から C_{21} が分岐する。点 P_3 ($\omega/\omega_1 \approx 0.55$) から S_{21} が分岐し、点 P_4 ($\omega/\omega_1 \approx 0.42$) から C_{20} と C_{21} が

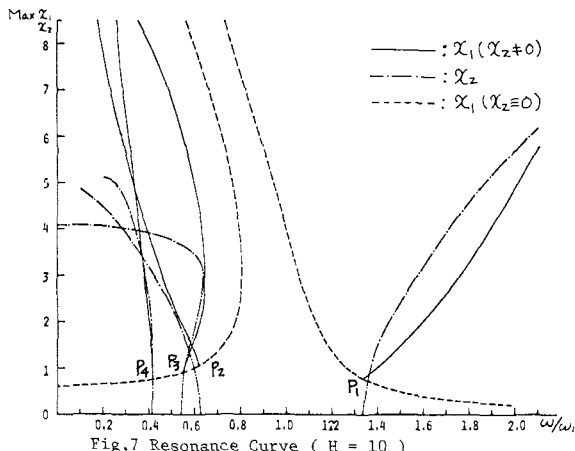
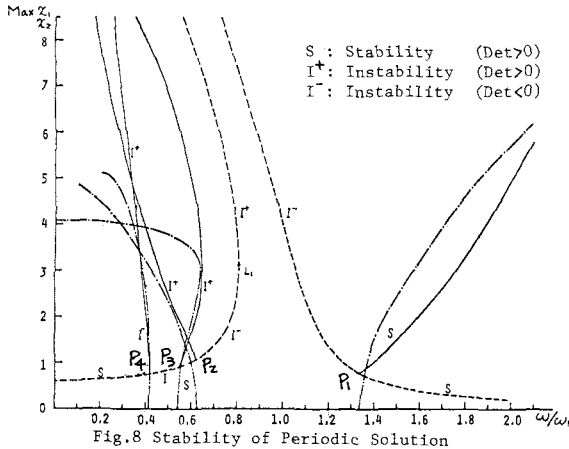


Fig. 7 Resonance Curve ($H = 10$)

分歧する。次に図7を示して共振曲線の安定性を検討する。変分式の解は $H=3$ の偏平アーチと同様に、(13)式で仮定する。(7)式及び(13)式を(6)式の変分式へ代入して得られる固有値問題を解析して結果を図8に示す。記号は図4と用いたものと同じで



ある。基本10スイッチに対する共振曲線は点 P_4 及び P_3 を挟まれた領域で不安定である。他の領域で安定である。

分歧点から分歧する図8に示した共振曲線のうち点 P_1 から分歧する共振曲線は安定であり、点 P_2 、 P_3 及び P_4 から分歧する共振曲線は不安定である。このため、点 P_4 及び P_3 、点 P_2 及び P_1 を挟まれた不安定領域の条件の定常解の振幅は、図7及び図8のステップを越える大振幅となることや予測される。大振幅を持つこれらの周期解も同様に方法で解析することができます。

§5 既往の定式化による結果との比較検討

正の2次項までの有限変形を考慮すると(1)式で支配される系を、従来多くの場合(3)式で支配されるものとし2級、2次元に。ここで下、従来の扱いについて簡単に整理すると共に、結果を求め、前節で解析して収容する扱いによる結果と比較検討する。

5-1 近似法

(3)式を Bolotin¹⁾が及、2113 Mathieu-Hill²⁾の標準型へ変換して次式を得る。

$$\ddot{X}_2 + \Omega_2^2 (1 - 2\mu \cos \omega t) X_2 + d_2 X_2^3 = 0 \quad (14)$$

$$\therefore k \Omega_2^2 = \omega_2^2, \mu = \frac{d_2 f_1}{\omega_2^2 (\omega_1^2 - \omega^2)}$$

(14)式の主不安定領域を定めるオーバードampedを(14)式から定める。まず4-1で解析して

$H=3, f_1=6.0$ のモデルの主不安定領域を与え、 ω/ω_1 の領域を表し示す。4-1で求められた主不安

Table 1 Main Instability ($H=3, f_1=6.0$)

Mathieu-Hill ($\omega=0$)	$3.042 < \omega/\omega_1 < 3.747$
Mathieu-Hill	$3.343 < \omega/\omega_1 < 3.443$
Present	$3.376 < \omega/\omega_1 < 3.412$

領域を表1に示す。次に4-2で解析して $H=10, f_1=30.0$ の偏平アーチモデルへ適用して結果を表2に示す。

Table 2 Main Instability ($H=10, f_1=30.0$)

Mathieu-Hill ($\omega=0$)	$0.891 < \omega/\omega_1 < 1.310$
Mathieu-Hill	$0.660 < \omega/\omega_1 < 1.349$
Present	$0.630 < \omega/\omega_1 < 1.337$

検討 $H=3, f_1=6.0$ のモデルにおける初期変形応答を無視して扱いながら不安定領域の幅を安全側(広く)見積る。逆に $H=10, f_1=30.0$ のモデルにおける初期変形応答を無視して扱いながら不安定領域の幅を危険側(狭く)見積る。本報の扱いは初期変形非線形応答と(1)式における d_2 の(1)式非線形項の影

響を考慮して(13)の2, 4-1の結果と初期変形の限
形応答を考慮して扱いによる結果との差は、(1-a)式
a才5, 及び6項、(1-b)式の才4項に起因する。次
に、規準座標 X_2 が nontrivial な解を持つ場合の
共振曲線を求める。

5-2 近似法 2

この方法は Bolotin¹⁾ によて示されているものであり、
(1)式において次式で表される項以外は無視して
扱いと等価である。

$$\left\{ \ddot{X}_1 + \omega_1^2 X_1 + d_1 X_2^2 = f_1 \cos \omega t \quad (16-a) \right.$$

$$\left. \ddot{X}_2 + \omega_2^2 X_2 + 2d_1 X_1 X_2 = 0 \quad (16-b) \right.$$

(16)式の解を次式で仮定する。

$$\left\{ \begin{array}{l} X_1 = C_{10} + C_{11} \cos \omega t \\ X_2 = A_2 \sin \frac{1}{2} \omega t, \text{ or } A_2 \cos \frac{1}{2} \omega t \end{array} \right. \quad (17)$$

(17)式を(16)式へ代入し、調和バランス法を適用して
得られる代数方程式を $A_2 \neq 0$ の条件のもとで解析
すると次式を得る。

$$A_2^2 = \frac{\omega_1^4 (4\omega_2^2/\omega_1^2 - \xi^2)(1 - \xi^2) \pm 4d_1 f_1}{2(1 - 2\xi^2)d_1^2} \quad (18)$$

$$\text{ここで } \xi = \omega/\omega_1$$

(18)式において $A_2 = 0$ とおくと、初期変形の限
形応答を考慮して(15)式の扱いと同じ重的不安定領域
の境界を与える。

4-2-2 扱い、次元化ラジス $H=10$, $f_1=30.0$ の偏平
アーチへ(18)式を適用する。このモデルの諸量を(18)
式へ代入して A_2^2 を求めた結果を図9に示す。

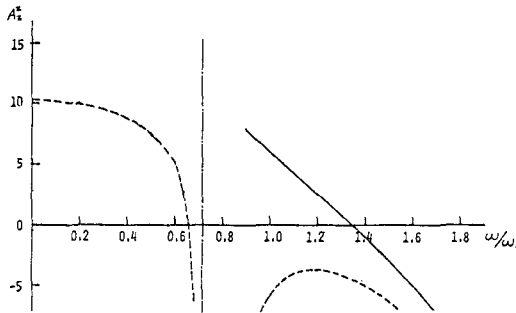


Fig.9

$A_2^2 \geq 0$ の場合だけ意味があることを考慮して、
(18)式から得られる X_2 の振幅を図10に実線で示す。

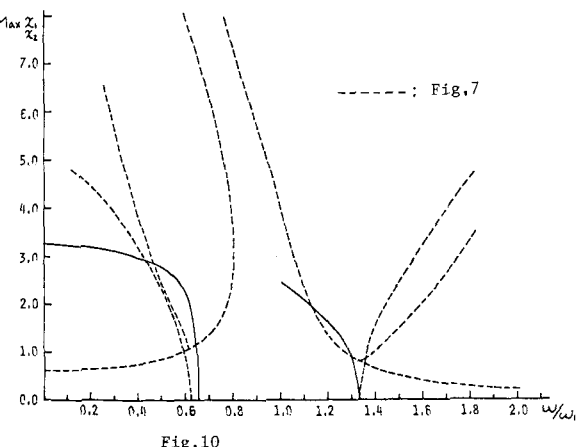


Fig.10

図10の破線は図9の結果である。

5-3 近似法 3

Bolotin¹⁾ で表される非線形 Mathieu-Hill 式において、 X_2 が nontrivial な解を有して
場合の定常解の振幅を求める計算法を示している。
(14)式の解を次式で仮定する。

$$X_2 = a \sin \frac{1}{2} \omega t + b \cos \frac{1}{2} \omega t \quad (19)$$

(19)式を(14)式へ代入し、調和バランス法を適用して
得られる代数方程式を $ab \neq 0$ の条件のもとで解析
して次式を得る。

$$A_2 = \frac{2\Omega_2}{\sqrt{3} d_1} \sqrt{\frac{\omega^2}{4\Omega_2^2} - 1 \pm \mu} \quad (20)$$

$$\text{ここで } A_2 = \sqrt{a^2 + b^2}$$

(20)式で(14)式の a, μ, Ω_2^2 を用いて計算することできる。
ここで、4-2-2 解析された規準座標 X_2 が分
岐点 P_1 及び P_2 (図7) で取る値をもとに、(20)式
を計算する。この時(2)式の代りに X_2 は次式で表され
る。

$$X_2^* = C_{10}^* + C_{11}^* \cos \omega t \quad (21)$$

(21)式を(1-b)式へ代入して、(3)式に対応する式を
導くと、次式で表される。

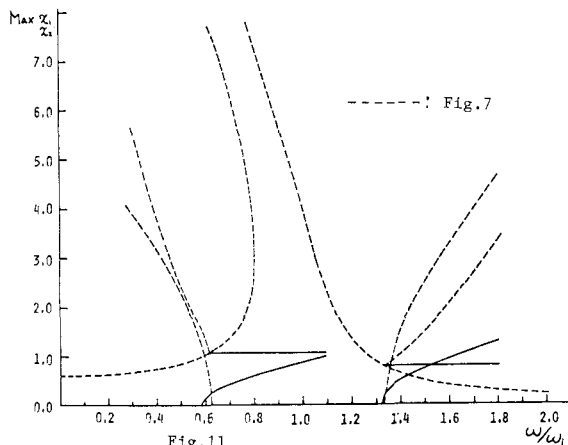
$$\ddot{X}_2 + \Omega_2^2 (1 - z\mu \cos \omega t) X_2 + d_1 \Omega_2^2 X_2^3 = 0 \quad (22)$$

$$\text{ここで } \Omega_2^2 = \omega_2^2 + d_1 C_{10}^*, \mu = -d_1 C_{11}^*/\Omega_2^2$$

$$C_{10}^*, C_{11}^*: A_2 \text{ が } P_1 \text{ 及び } P_2 \text{ (図7) } \text{ で取る値}$$

C_{10}^*, C_{11}^* を(22)式へ代入して μ, Ω_2^2 を求め、それらを
(20)式へ代入すると振幅 A_2 が求められる。

4-22 節、 ζ 無次元化ラジス $H=10$, $f_1=30.0$ の偏平アーチへ(20)式を適用して得られた結果を図11に実線で示す。破線は図7の結果である。



検討 X_2 が nontrivial な解を有する場合の振幅について検討する。

近似法2を無次元化ラジス $H=10$, $f_1=30.0$ の偏平アーチへ適用して結果は、図10に示していくように分歧点 P_1 及び P_2 から分歧して共振曲線とも振動数の低い方へ曲る。一方、近似法3を同じモデルへ適用して結果は図11に示していくように、点 P_1 及び P_2 から分歧して共振曲線とも振動数の高い方へ曲る。図7の結果と比較すると、点 P_1 から分歧する共振曲線は近似法3による結果は図7の結果より小さく見える。また、点 P_2 から分歧する共振曲線は近似法2による結果と図7の結果が良く合う。しかし、近似法2を適用して得た点 P_1 から分歧する共振曲線、及び近似法3を適用して得た点 P_2 から分歧する共振曲線は、図7に示した厳密下に示す結果と全く異なる。近似法2及び近似法3では次の項までの有限変形を考慮して場合(1)式で支配される条件を扱う既往の定式化である。ここで示していく例題から、既往の定式化による結果と厳密な扱いによる結果との間に大きな差異が生ずる場合があることを示す。すなはち、Trivial な解を持つ標準座標(同次成分)が nontrivial な解を持つ場合の振幅は、厳密な扱いをする必要がある。

§ 6 近似解法

非線形振動を角解析する際、一般に非線形代数方程式を角解析だけではならない。非線形代数方程式は多くの場合代数演算だけでは解析できない収斂計算法を利用するだけではならない。ここでは、代数演算だけでは(1)式の近似解を求める方法を示す。(1)式において、 X_2 が trivial な解を持つ時、次式が導かれる。

$$\ddot{X}_1 + \omega_1^2 X_1 + d_3 X_1^2 + d_4 X_1^3 = f_1 \cos \omega t \quad (23)$$

(23)式の解を(12-a)式に代入し、弱和バランス法を適用すると次式が導かれる。

$$\left\{ \begin{array}{l} \omega_1^2 C_{10} + \frac{d_3}{2} (C_{10}^2 + C_{11}^2) + \frac{d_4}{2} (2C_{10}^3 + 3C_{10}C_{11}^2) = 0 \\ (\omega_1^2 - \omega^2) C_{10} + d_3 C_{10} C_{11} + \frac{3}{4} d_4 (C_{10}^2 C_{11} + C_{11}^3) = f_1 \end{array} \right. \quad \begin{array}{l} (24-a) \\ (24-b) \end{array}$$

(24)式における ω を $110\pi X - 7$ とすると、 C_{10}, C_{11} は陽に表示せられ、 C_{10} を $110\pi X - 7$ として述べば(24-a)式から

$$C_{11}^2 = - \frac{4\omega_1^2 C_{10} + 2d_3 C_{10}^2 + d_4 C_{10}^3}{2(2d_3 + 3d_4 C_{10})} \quad (25)$$

(24-b)式から次式を得る。

$$\omega^2 = \omega_1^2 + d_3 C_{10} + \frac{3}{4} d_4 (C_{10}^2 + C_{11}^2) - \frac{f_1}{C_{11}} \quad (26)$$

この近似解法は $C_{11}^2 = 0$ の時は別の扱いをすればいいが、一般的に(23)式で表される系の自由振動 ($f_1=0$)、及び強制振動の近似解を与える。

例題1 自由振動への応用

無次元化ラジス $H=3$ の偏平アーチへ(25), (26)式を適用する。得られた Backbone Curve を図12に実線で示す。破線は誤差を含む

曲線(1)を示す。この例題からも分かるように、この近似法は割合精度が良い。

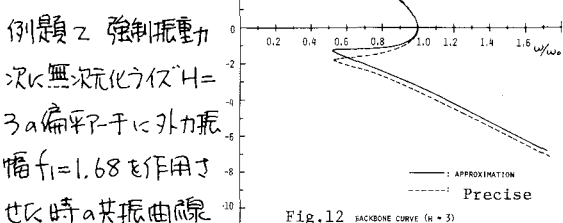


Fig. 12 BACKBONE CURVE ($H=3$)

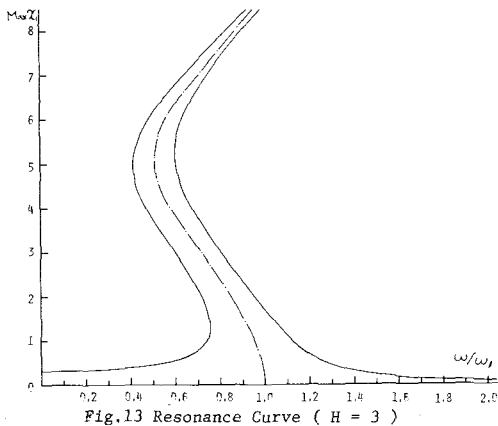


Fig. 13 Resonance Curve ($H = 3$)

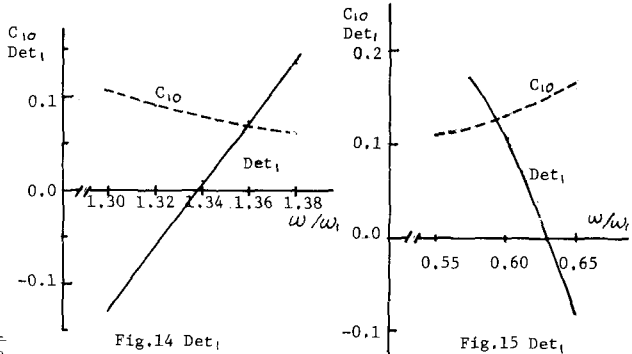


Fig. 14 Det_1

Fig. 15 Det_1

一点鎖錠は例題1の Backbone Curve である。すなはち無次元化ラジス $H=10, f_1=30.0$ の偏平アーチへ適用可能か否か図6に示した共振曲線を代数演算にて解析する。

例題3 動的安定の境界の決定

- (1) 式(25)より $\chi_2 \equiv 0$ の場合の固有解 χ_1 (式(25)), (26)式を用いて近似解を求める。この χ_1 を (1-b)式へ代入して式(27)式を得る。

$$\ddot{\chi}_2 + R_z^2 (1 - 2\mu_1 \cos \omega t - 2\mu_2 \cos 2\omega t) \chi_2 + d_5 \chi_2^3 = 0 \quad (27)$$

ここで $R_z^2 = \omega_1^2 + d_1 C_{10} + d_2 C_{10}^2/2 + d_2 C_{10}^2$

$$\mu_1 = -C_{11}(d_1 + d_2 C_{10})/R_z^2$$

$$\mu_2 = -d_2 C_{11}^2/(4R_z^2)$$

(27)式の主不安定領域の式(近似)は次式で表される。

$$\text{Det}_1 = (1 + \mu_1 - \frac{\omega^2}{4R_z^2})(1 - \mu_1 - \frac{\omega^2}{4R_z^2}) = 0 \quad (28)$$

2次不安定領域の式(近似)は次式で表される。

$$\text{Det}_2 = (1 + \mu_2 - \frac{\omega^2}{R_z^2})(1 - \mu_2 - \frac{\omega^2}{R_z^2} - 2\mu_1^2) = 0 \quad (29)$$

4-2-2 解析して無次元 C_{10}

化ラジス $H=10, f_1=30.0$ の偏平アーチにおける

(25), (26)式から得られる諸量を (28), (29)式へ代入して求めた Det_1 のグラフ

を図14, 及び図15に示す。

すなはち Det_2 のグラフを図

16に示す。

図14, 15から得られる主不安定領域の境界は、表2に示した4-2の結果と同一である。すなはち図16から得られる不安定領域の境界は4-2の解析で得られた2次不安定領域の境界と一致する。

(28)式あるいは(29)式の代りに更に良い近似を与える式を用いて(27)式の主不安定領域、2次不安定領域の境界の精密な値を得られる。図27では、3次以上の不安定領域を定めることとする。

References

- V.V.Bolotin: "The Dynamic Stability of Elastic Systems" Holden-Day, 1964
- V.E.Mettler and F.Weidenhammer: "Zum Problem des Kinetischen Durchschlagens Schwach Gekrümmter Stäbe" Ingenieur-Archiv p.421, 1962
- V.E.Mettler: "Stability and Vibration Problems of Mechanical Systems under Harmonic Excitation" Dynamic Stability of Structures Ed. G.Herman Pergamon Press p.169, 1965
- J.Tani: "Dynamic Instability of Truncated Conical Shells under Periodic Axial Load" Int. Solids and Structures p.169, 1974
- J.Tani: "Influence of Deformations Prior to Instability on the Dynamic Instability of Conical Shells under Periodic Axial Load" Appli. Mech. p.87, 1976
- L.R.Koval: "Effect of Longitudinal Resonance on the Parametric Stability of Axially Excited Cylindrical Shell" J. Acoust. Soc. Am. p.91, 1974
- N.Yamaki and K.Nagai: "周期的荷重に対する柱状板の爆発性" Mem. Inst. High Speed Mech. Vol.36 No.351, 1975
- Y.Minakawa and Y.Hangai: "非線形微分方程式の分歧・バス解析" 第2回応力集中力学講義 p.307, 1976
- Y.Minakawa: Doctoral Dissertation, University of Tokyo, 1976
- Y.Minakawa: "The Periodic Solution Problems of Nonlinear Equations of Motion" Trans. A.I.J. (to be appeared)
- G.A.Hegemier and F.Tzung: "The Influence of Damping on the Snapping of a Shallow Arch under a Step-pressure Load" AIAA J. p.1494, 1969
- N.J.Hoff and V.G.Bruce: "Dynamic Analysis of the Buckling of Laterally Loaded Flat Arches" J. of Mathematics and Physics, p.276, 1954

On the Strict Treatment of the Dynamic Stability in
Elasticity under Periodic Force

Youichi Minakawa*

There are many papers which deal with problems of the dynamic stability in elasticity under periodic force. In these systems, the deformation before instability is the symmetric deformation (axial deformation in rods, inplane deformation in plates, symmetric deformation in arch, ring and shells), and the deformation after instability is the asymmetric deformation (bending deformation in rods, and plates, asymmetric deformation in arch, ring and shells). If the equations of motion are derived by considering the finite deformation theory in elasticity, the symmetric and the asymmetric deformation modes are coupled through nonlinear terms of spring. Then, applying periodic force with symmetric mode, the equations of motion which have external periodic force terms, and the symmetric and the asymmetric deformation modes coupled in nonlinear spring terms are derived. In conventional treatment of the systems, the symmetric deformation modes are assumed to be solved under separate variables from the asymmetric deformation modes. Assuming separate variables, the symmetric deformation modes are solved with linear terms, then these solutions are substituted into equations of motion corresponding to the asymmetric deformation modes. The derived Mathieu-Hill equations are treated as the basic equations for the dynamic stability under periodic force.

For example, adopting the deformation before instability(χ_1)and the deformation after instability(χ_2)in foregoing elastic systems, we get the equation of motion with two-degree-of-freedom as presented in Eq.(1). Assuming Eq.(1-a) is solved without nonlinear term, normal mode χ_z is given by Eq.(2). Substituting Eq.(2) into Eq.(1-b), we get the Mathieu-Hill equation (3). Some authors who investigated the dynamic stability in elasticity under periodic force based on the Mathieu-Hill equation corresponding to Eq.(3). Many authors neglected the inertia force of the deformation before instability and dealt with the Mathieu-Hill equation corresponding to Eq.(3) where $\omega^2=0$.

In this paper the conventional approximate procedure in not adopted, but Eq.(1) is solved by the method of harmonic balance. We employ the shallow sinusoidal arch as a model governed by Eq.(1) and show the numerical results in §4. The obtained typical results are compared with the results which are obtained by applying the conventional treatment in §5. The comparisons make clear the influence of nonlinear response before instability and the nonlinear vibration after instability. Especially, they show that there is substantial difference in the steady-state amplitude after instability for the same elastic model.

In order to investigate whether the obtained solutions are stable or unstable for perturbation, the complex eigenvalue problem is solved.

In the last, an approximation method to solve a sort of nonlinear equations of motion is proposed. By applying the method, some nonlinear vibrations are analyzed without solving nonlinear algebraic equations by iteration procedures such as the Newton-Raphson procedure. In order to analyse nonlinear free vibration and forced vibration of χ_1 and determine the boundary region of dynamic stability of χ_z this method is applied to Eq.(1).

* Student, Institute of Industrial Science University of Tokyo, Dr. Eng.